

## (770) レールの摩耗・損傷に及ぼす車輪形状の影響

(レール・車輪のマッチングに関する研究第一報)

新日本製鐵㈱ 八幡技術研究部

○佐藤明史 影山英明  
杉野和男

**1. 緒 言** 近年、鉄道における効率化・省力化を目的として、レールの耐摩耗性向上、特殊形状車輪の使用、レール・グラインダー削正技術の進歩など著しい技術的進展が見られるが、それに伴いレールと車輪のマッチングに関する問題が大きな関心事となっている。本報告は車輪形状の違いが、レールの摩耗、塑性流動、き裂の発生・進展に与える影響について検討したものである。

**2. 実験方法** 実験に用いた試験機は円板ころがり接触タイプで(Fig. 1)，特徴はレール傾斜やangle of attackに相当する角度を自由に設定できる点にある。実験条件(Table 1)としては、車輪試験片がHeumannとAARの2タイプで、潤滑条件は従来困難であったレール表層の塑性流動、き裂の発生・進展をシミュレートするため、乾燥条件と水潤滑条件を組み合せる方法(2水準)を採用した。

**3. 実験結果と考察**

(1) 実験番号H-1,2とA-1,2では、レール試験片のG.C.側部の摩耗に大きな差が見られる。(Fig. 2に代表としてH-1とA-1の結果を示す。)

(2) H-1とH-2の摩耗形状を頭頂が一致するように重ねてみると(Fig. 2(c)), 潤滑条件の違いによりH-2の方が相対的にG.C.上部が突き出した摩耗形状になっている。

(3) H-1とA-1,2のG.C.部のき裂は塑性流動に沿って斜めに発生しており(Photo. 1(a), (c))、A-2もA-1と同様)、損傷外観、L断面観察の結果を総合すると、T・L両方向の塑性流動に沿った斜めで、長手方向に不連続なき裂が発生している。

(4) H-2のき裂は内部に水平に進展し、き裂上部には激しい塑性流動が見られ(Photo. 1(b))、他の観察結果と総合すると水平で長手方向に連結した、(3)とは異なるき裂が発生している。

(5) H-2において特異なき裂が発生した理由としては、(2)で述べたG.C.上部が突き出した摩耗形状の特徴にも示されるように、Heumann車輪形状によるレールとのG.C.上部一点接触(Fig. 3)が最も顕著に実現し、き裂上部に大きな横方向の力が作用したことなどが挙げられる。従って車輪形状の違いはレールの摩耗・損傷に大きな影響を与えると言える。

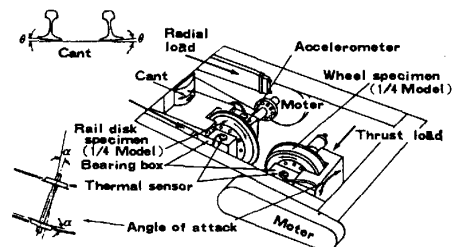


Fig. 1 Schematics of rail/wheel wear and fatigue test apparatus.

Table Test conditions

TEST NUMBER	RAIL DISC SPECIMEN	WHEEL SPECIMEN	NUMBER OF CYCLES LUBRICATION ROTATING SPEED (x10 <sup>4</sup> )	RADIAL LOAD	THRUST LOAD	ANGLE OF ATTACK	CANT	SLIDING RATIO
H-1	136 RE	Heumann type	0 4 dry water 100 300 (rpm)	200	1 ton.	0.1~0.4 (ton.) an interval of one min.	0.5°	1/40 (WHEEL DRIVE)
A-1	"	AAR type						
H-2	"	Heumann type	0 4 12 21.5 134 dry water 100 300 200 (rpm)	208	"	"	"	"
A-2	"	AAR type						

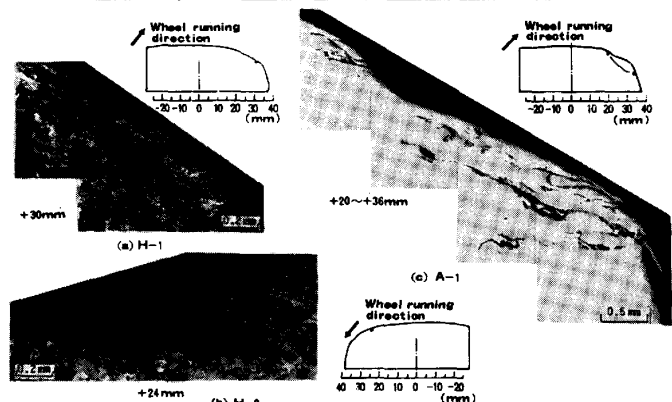


Photo. 1 Plastic deformation and minute cracks on the cross section of the rail specimen head surface layer.

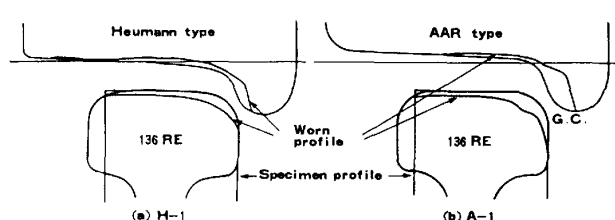


Fig. 2 Cross sectional profile of rail and wheel specimens.

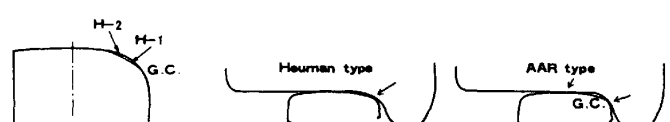


Fig. 3 Comparative geometry of the profiles on the curve outer worn rail.